

## แนวทางการลดการสั่นสะเทือนและออกไซด์ของไนโตรเจน ในห้องเผาไหม้หน้าตัดสี่เหลี่ยมจัตุรัส ตอนที่ 2

### Approaches to Reduce Oscillations and NOx in Model Square-sectional Combustor [Part 2]

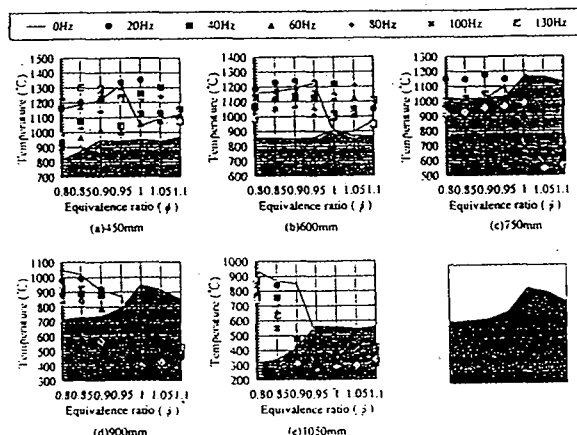
รุ่งเรือง พิทยศิริ และ นิติมา อริยะชัยพานิชย์  
ภาควิชาวิศวกรรมเครื่องกล คณะวิศวกรรมศาสตร์ มหาวิทยาลัยมหิดล  
ศala ya นครปฐม 73170

#### ผลจากการป้อนการสั่นสะเทือน

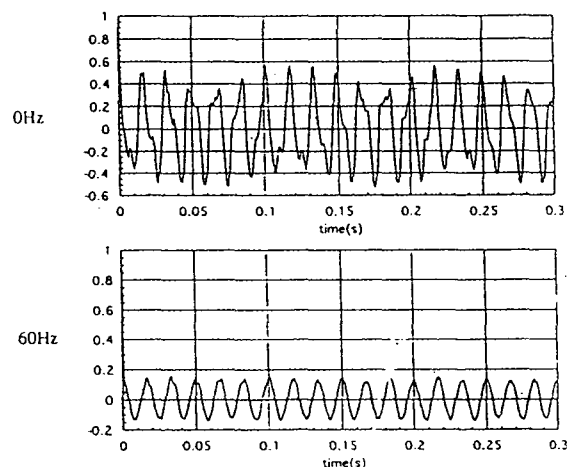
การทดลองได้ทำการเปรียบเทียบการเผาไหม้ที่อัตราความเข้มข้นเชื้อเพลิง ( $\phi$ ) ตั้งแต่ 0.8 ถึง 1.1 ระหว่างสภาวะที่ปราศจากการป้อนการสั่นสะเทือนและที่มีการป้อนการสั่นสะเทือนที่ความถี่ 20, 40, 60, 80, 100, 130 Hz ที่ความยาวท่อไอเสียหลายขนาด

จากรูปที่ 6 แสดงผลของการป้อนการสั่นสะเทือนที่มีอุณหภูมิของไอเสียที่บริเวณทางออกของท่อไอเสียโดยเลือกทำการทดลองที่ความยาวท่อไอเสีย 450 mm. เนื่องจากเกิดการสั่นสะเทือนตามธรรมชาติที่สุดและใช้ขั้นขนาดสูง (36 mm.) จากรูปความสามารถแบ่งช่วงของผลการทดลองเป็น 2 ช่วงคือช่วงที่อัตราความเข้มข้นของเชื้อเพลิง (Equivalence Ratio)  $\phi < 1.0$  หรือส่วนผสมบาง และที่  $\phi \geq 1.0$  ส่วนผสมหนา โดยในช่วงของส่วนผสมบาง เมื่อป้อนการสั่นสะเทือนเข้าไปในช่วง 40-80 Hz ทำให้อุณหภูมิของไอเสียลดลงเมื่อเทียบกับเผาไหม้ตามธรรมชาติที่ปราศจากการสั่นสะเทือน แต่ที่ความถี่ 20, 100 และ 130 Hz นั้นมีผลให้อุณหภูมิของก๊าซไอเสียสูงขึ้น และเมื่อพิจารณาที่  $\phi \geq 1.0$  พบว่าที่ความถี่ 20, 40, 80, 100 และ 130 Hz ทำให้อุณหภูมิของก๊าซไอเสียสูงขึ้น นอกจานั้นผลการทดลองที่ความยาวของท่อไอเสียที่สูงขึ้นก็ยังแสดงให้เห็นว่าการป้อนการสั่นสะเทือนที่บางความถี่ทำให้อุณหภูมิของก๊าซไอเสียสูงขึ้นโดยสามารถเพิ่มอุณหภูมิในบางภาวะได้ถึงอัตราส่วน 1.33 เท่า เทคุณลักษณะนี้ให้การสั่นสะเทือนทำให้อุณหภูมิจากการเผาไหม้ลดลงในช่วงส่วนผสมบางอาจคือการสั่นสะเทือนเพิ่มความดึงดัวของผิวเปลวไฟ (Stretch rate) ทำให้ห่วงเวลาในการลุกคิดไฟใหม่ (Relighting period) นานขึ้นในขณะที่ในช่วงส่วนผสมหนา การสั่นสะเทือนช่วยให้คุณภาพการผสมกันระหว่างไอเสียกับส่วนผสมดีขึ้นและทำให้ค่าส่วนผสมใกล้เคียงกันมากขึ้นอันจะทำให้การเผาไหม้เกิดขึ้นที่ความเข้มข้นของเชื้อเพลิงใกล้กัน  $\phi = 1.0$  ซึ่งมีอุณหภูมิสูงสุดมากขึ้น ดังนั้นจึงสรุปได้ว่าการป้อนการสั่นสะเทือนในความถี่ที่เหมาะสม

สมสามารถเพิ่มอัตราการเกิดปฏิกิริยาความร้อน (Reaction rate) ได้



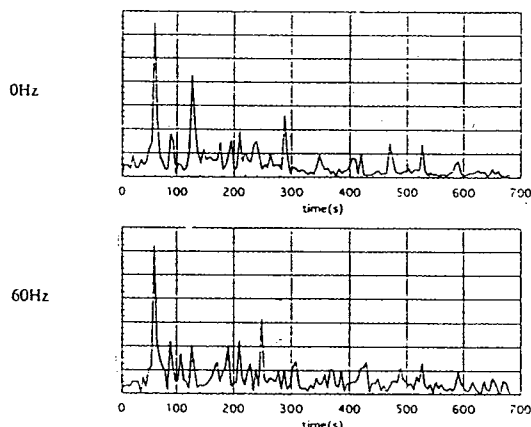
รูปที่ 6 แสดงอุณหภูมิของก๊าซไอเสียบริเวณทางออกของท่อไอเสียที่มีความยาว 450 mm. (ขั้นขนาด 36 mm.)



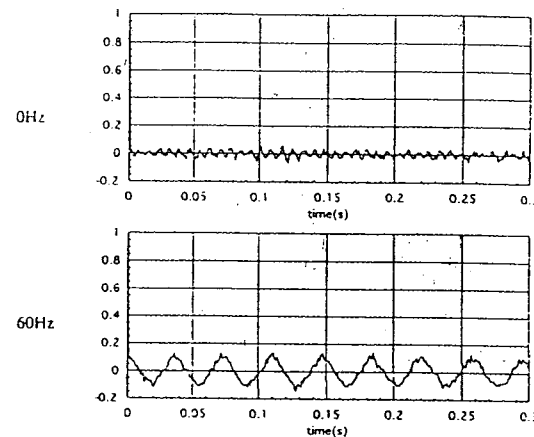
รูปที่ 7 แสดงค่าความดันผันแปรในห้องเผาไหม้ที่ใช้ขั้นแบบสูง และความยาวท่อไอเสียเท่ากับ 450 มิลลิเมตร,  $\phi = 1.0$

ลักษณะที่ได้เก็บนี้เกี่ยวกับคุณสมบัติของการเรืองแสงจากการเผาไหม้ว่าเป็นอีกแนวทางหนึ่งที่สามารถชี้นำได้ในมีการสั่นสะเทือนระหว่างการเผาไหม้และจากการทดลองซึ่งทำการวัดค่าการเรืองแสงของโมเลกุลอะซิโระ OH และการถ่ายภาพถ่ายไฟด้วยความเร็วสูง (High-speed CCD) ที่เวลาเดียวกันเพื่อพิจารณาความสัมพันธ์ระหว่างความถี่และเฟสระหว่างการเรืองแสงกับค่าความดันผันแปร

จากรูปที่ 7 แสดงค่าความดันผันแปรในห้องเผาไหม้ที่ใช้ขั้นสูง (36 มม.) กับเวลา ความยาวห่อไอเดียเท่ากับ 400 มม. และความยาวห่อไอเสียเท่ากับ 450 มม. และ  $\phi=1.0$  และรูปที่ 8 แสดงสเปกตรัมของภาวะดังกล่าว พบว่า การเผาไหม้ (ปราศจากการป้อนการสั่นสะเทือน) เกิดการสั่นสะเทือนตามธรรมชาติที่ความถี่หลักเท่ากับ 60 Hz โดยมีระยะเวลาจากแท้แห่งปลายน้ำที่อ่อนโยนที่มีความเข้มข้นของความร้อนสูงสุดเท่ากับ 3 ใน 4 เท่าของความยาวคลื่นและจากการป้อนการสั่นสะเทือนให้กับส่วนผสมที่ความถี่ 60 Hz ก็ทำให้เกิดความถี่ที่วัดได้เท่ากับ 60Hz เช่นเดียวกัน และจากรูปที่ 7 จะเห็นว่าการป้อนการสั่นสะเทือนที่ความถี่ 60 Hz ทำให้ขนาดการสั่นสะเทือนตามธรรมชาติดลลงจากค่าอ้างอิง 0.4 เป็น 0.15 mV ซึ่งเป็นขนาดที่ลดลง 62.5 % เนื่องจากสาเหตุที่ว่าการสั่นสะเทือนที่ป้อนเข้าไปมีเฟสที่ยังคงทำให้เกิดการหักล้างพลังงานจากความดันในห้องเผาไหม้ดังเช่นที่พูนในการทดลองประเภทแรกที่ฟอลโกรลท์ไว้ไป เช่นของ McManus et al. (1993) และ Bhidayasiri (1998)



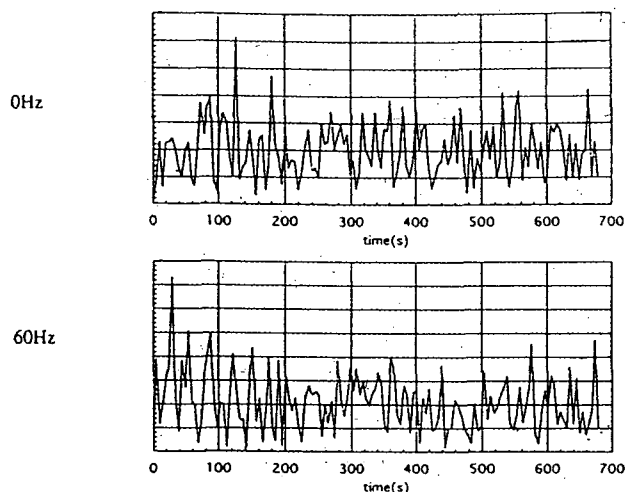
รูปที่ 8 Power Spectrum ของความดันผันแปรในห้องเผาไหม้ (ขั้นแบบสูง 36 มม., ห่อไอเสียยาว 450 มม. และ  $\phi=1.0$ )



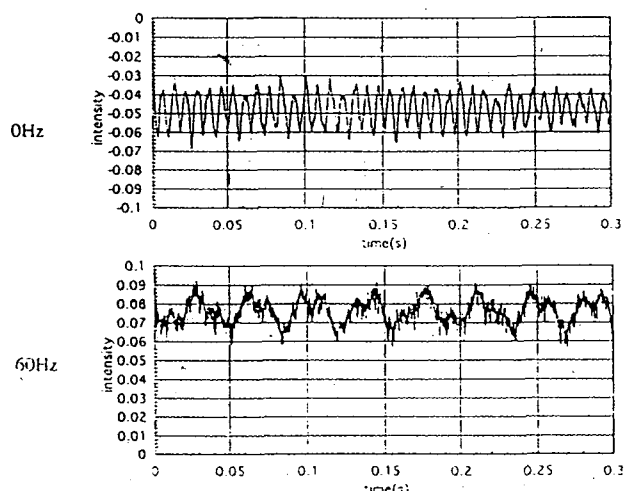
รูปที่ 9 กราฟ Auto-correlation ของการเรืองแสงของโมเลกุล OH (ขั้นแบบสูง 36 มม., ห่อไอเสียยาว 450 มม. และ  $\phi=1.0$ )

จากรูปที่ 9 แสดงความสัมพันธ์ของการเรืองแสงของโมเลกุล OH กับเวลาในห้องเผาไหม้ที่ใช้ขั้นแบบสูง ความยาวห่อไอเสียเท่ากับ 450 มม. (ห่อไอเดียเท่ากับ 400 มม.) และ  $\phi=1.0$  และรูปที่ 10 ซึ่งแสดงผลการทดลองเดียว กันแต่เป็นการแสดงการเรืองแสงเป็น Power Spectrum เพื่อสะท้อนในการซึ่งการกระจายตัวของพลังงาน ณ ความถี่ต่างๆ จากผลการทดลองพบว่าการเผาไหม้ตามธรรมชาติ (ปราศจากการป้อนการสั่นสะเทือน) ความสัมพันธ์ของการเกิดการเรืองแสงโดยโมเลกุล OH ไม่เป็นแบบชาร์โนนิกหรือไม่สัมพันธ์กันเป็นค่าคงเดิมที่ความถี่ที่ 124 Hz ซึ่งประมาณเป็นชาร์โนนิกของความถี่ตามธรรมชาติที่ 60 Hz และเมื่อป้อนการสั่นสะเทือนให้กับส่วนผสมที่ความถี่ 60 Hz นั้นพบว่าจังหวะของการเรืองแสงสัมพันธ์กันเป็นค่าเวลาอย่างชัดเจน อย่างไรก็ตามความถี่ของการเรืองแสงในกรณีที่มีการป้อนการสั่นสะเทือนนี้กลับเป็นที่ 30 Hz ซึ่งเป็นเพียงครึ่งเดียวของความถี่ของความดันผันแปร (60 Hz) ในสภาวะเดียวกัน และสามารถสันนิษฐานได้ว่าการสั่นสะเทือนที่เกิดขึ้นในความดันเป็นขั้นชาร์โนนิกของการสั่นสะเทือนที่เกิดขึ้นจากการเผาไหม้

จากการพิจารณาคุณลักษณะสั่นสะเทือนโดยคู่ที่ลักษณะคล้ายกัน ใช้ความดันผันแปร กับ ใช้การเรืองแสงของโมเลกุลอะซิโระ OH จะเห็นว่าความถี่ที่เกิดขึ้นมีความสัมพันธ์กันกับฐานความถี่ 60 Hz และเมื่อ



รูปที่ 10 กราฟ Power-spectrum ของการเรืองแสงของโนเลกูล OH  
(โดยใช้ขั้นแบบสูง และท่อไอเสียยาว 450 มม. ท่อค่าว่าด้วยความชันของเชื้อเพลิง  $\phi=1$ )



รูปที่ 11 กราฟ Cross-correlation ระหว่างการเรืองแสงของโนเลกูล OH  
และความตันแปรงผันในห้องเผาไหม้

นำผลการทดลองทั้งสองมาประسانกันโดยการทำ Cross Correlation เนื่องจากผลการวัดในแต่ละวิธีได้เกิดขึ้นพร้อมกัน และจากผลการทำ Cross Correlation ซึ่งแสดงในรูปที่ 11 พบว่าในภาวะที่มีการป้อนการสันสะเทือนที่ความถี่ 60 Hz การนำค่าลีนาร์รวมกันทำให้ขยายเวลาตามที่เกิดการเสริมกันของเพลสจาก 7.1 เป็น 40 มิลลิวินาทีหรือลดความถี่ของการเสริมกันของเพลสจาก 142 เป็น 25 Hz ได้ และเป็นที่น่าสังเกตุด้วยว่าค่าลีนาร์การสันสะเทือนของความดันและการเรืองแสงของโนเลกูลอิสระ OH ไม่ปรากฏว่ามีเพลสเบื้องต้นทั้งนี้อาจด้วยจากสาเหตุที่การวัดความดันและความเข้มแสงถูกกระทำที่ต่ำแห่งที่ใกล้กันมาก่อนท้าให้เวลาที่ใช้สำหรับเคลื่อนตัวจากที่หนึ่งไปอีกที่หนึ่งน้อยมาก

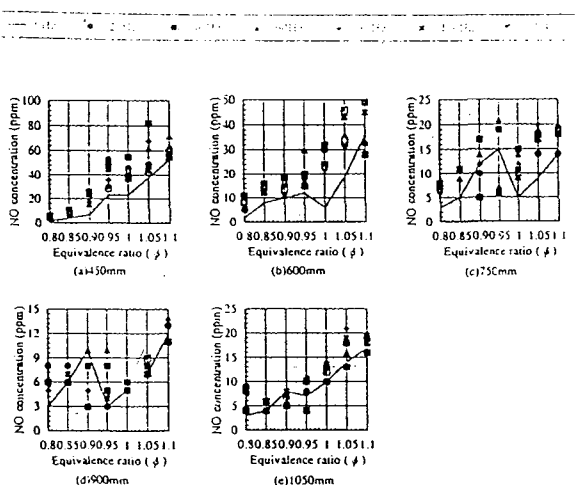
#### ผลต่อปริมาณในโตรเจนออกไซด์

จากรูปที่ 12 และ 13 แสดงปริมาณของก๊าซในโตรเจนออกไซด์ (NO) ที่ความยาวห่อไอดีเท่ากับ 400 มม. โดยทำการวัดที่การเผาไหม้ที่มีการป้อนการสันสะเทือนและไม่มี โดยใช้ขั้นแบบสูงและต่ำตามลำดับ และจากรูปที่ 12 ซึ่งทำการทดลองในห้องเผาไหม้แบบใช้ขั้นสูงพบว่าปริมาณของก๊าซในโตรเจนออกไซด์ (NO) แปรผันตามค่าอัตราส่วนความเข้มข้นของเชื้อเพลิงซึ่งตามทฤษฎีค่า NO จะมีค่าสูงขึ้น ตามความเข้มข้นของเชื้อเพลิงและมีค่าสูงสุดที่  $\phi=1.0$  แต่การที่ NO เพิ่มขึ้นต่อเนื่องในขณะที่  $\phi>1.0$  อาจเป็น เพราะส่วนผสมในห้องเผาไหม้มีมีเป็นเนื้อดียกันอย่างสมบูรณ์และ  $\phi$  ก็มีค่าต่างจาก 1.0 เพียงเล็กน้อย แต่เมื่อทำการป้อนการสันสะเทือนกลับพบว่าปริมาณของก๊าซในโตรเจนออกไซด์เพิ่มขึ้นจาก 6.6 ppm นาเป็นที่ 30 ppm ด้วยการสันสะเทือนที่ 20 Hz, ที่ 32 ppm ที่ 60 Hz, และ 34 ppm ที่ 130 Hz เนื่องจากที่ภาวะดังกล่าวการสันสะเทือนทำให้อุณหภูมิจากการเผาไหม้สูงขึ้น (รูปที่ 6) จึงทำให้การผลิต NO สูงขึ้น ตามทฤษฎีการผลิต NOx ของ Zeldovich

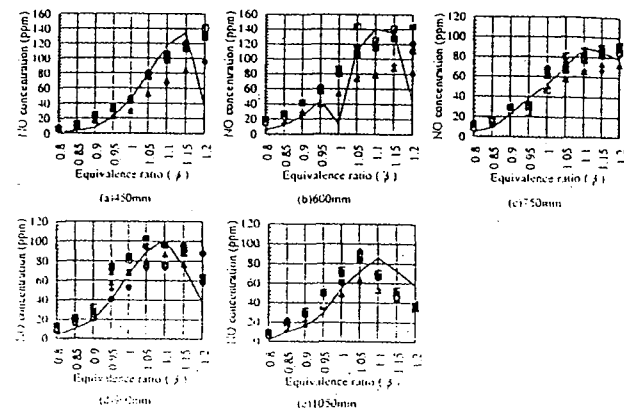
ผลจากการเผาไหม้ในห้องเผาไหม้ที่ใช้ขั้นแบบต่ำพบว่าสามารถลดปริมาณของก๊าซในโตรเจนออกไซด์ได้เมื่อป้อนการสันสะเทือนที่ความถี่ที่เหมาะสมในช่วงอัตราความเข้มข้นของเชื้อเพลิงที่เหมาะสม เช่น ที่ความยาวห่อไอเสีย 450 มม. การป้อนการสันสะเทือนที่ความถี่ 60 Hz สามารถลด NO ในภาวะไกล์ Stoichiometry ( $1.0 \leq \phi \leq 1.15$ ) ได้มากถึงประมาณ 35 % และที่ความยาวห่อไอเสีย 600 มม. การป้อนการสันสะเทือน ณ ภาวะเดียวกันสามารถลด NO ได้ถึงกว่า 40 % ทั้งนี้เนื่องจากความเป็นไปได้ที่ว่าการสันสะเทือนเพิ่มความเร็วผันแปรซึ่งจะมีผลทำให้เวลาการเผาไหม้ที่ Stoichiometry (มีอุณหภูมิสูงสุด) ลดลงซึ่งจะทำให้

NO ลดลงด้วยการทดลองในอุตสาหกรรม Sivasegaram และ Whitelaw (1996)

จากการทดลองในช่วงก่อนที่แสดงว่าการเปลี่ยนค่าขนาดความยาวท่อไอเสียมีผลต่ออุณหภูมิของไอเสียและขนาดของการสั่นสะเทือนของการเผาไหม้ดังนั้นจึงมีผลต่อปริมาณ NO เช่นกันและจากการวัด NO กับขนาดความยาวท่อไอเสียพบว่า การเผาไหม้ด้วยความยาวท่อไอเสียที่สูงขึ้นทำให้เกิดปริมาณ NO สูงขึ้นโดยที่ภาวะ  $\phi=1.0$  ท่อไอเสียที่ยาวขึ้นจาก 450 เป็น 900 มม. ทำให้การเผาไหม้ NO เพิ่มขึ้นจาก 40 เป็น 70 ppm อย่างไรก็ตามผลของการเผาไหม้ของท่อไอเสียไม่ได้ก่อให้เกิดการเปลี่ยนแปลงต่อ NO ในทางตรงและในทิศทางเดียวกันนั้น แต่ขนาดห้องเผาไหม้ที่เปลี่ยนไปยังอีกห้องที่อุทิพลาทางอ้อมอีกมีผลต่อ NO เช่นขนาดการสั่นสะเทือนที่สูงขึ้นตามความยาวของท่อไอเสียทำให้คุณภาพส่วนผสมดีขึ้นและอาจลดปริมาณ NO อุณหภูมิการเผาไหม้ที่ดีกว่ากันมากกว่าท่อไอเสียที่สั้นมากและการเผาไหม้เกิดขึ้นไม่สมบูรณ์กับท่อไอเสียที่มีขนาดที่สามารถทำให้การเผาไหม้เกิดขึ้นสมบูรณ์ได้ เช่นระหว่าง 450 กับ 900 มม. ทำให้การเผาไหม้ดีขึ้นและมีผลต่อการเผาไหม้ที่ไม่สมบูรณ์ซึ่ง NO มักจะต่ำ

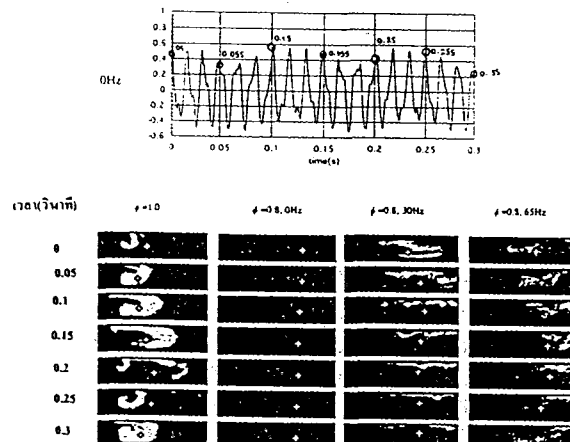


รูปที่ 12 ปริมาณก๊าซในโถเรนออกไซด์ที่วัดได้จากการวินิจฉัยท่อไอเสีย



รูปที่ 13 ปริมาณก๊าซในโถเรนออกไซด์ที่วัดได้จากการวินิจฉัยท่อไอเสีย (โดยใช้ขั้นแบบค่า)

จากรูปที่ 14 แสดงภาพของเปลวไฟที่ถ่ายจากกล้องความเร็วสูง (High-speed CCD) ในเวลาเดียวกับการวัดความดันแปรผันและการวัดความเข้มของการเรืองแสงของไนโตรเจล OH ที่  $\phi=1.0$  ซึ่งปรากฏการป้อนการสั่นสะเทือน และที่  $\phi=0.8$  ที่มีการป้อนการสั่นสะเทือนที่ 30 และ 60 Hz โดยถ่ายภาพด้วยช่วงเวลาที่ 0.05 วินาทีในระยะเวลาห้าหมื่น 0.3 วินาที จากผลของภาพถ่ายจะเห็นว่าความเข้มแสงในภาวะประจุจากการป้อนการสั่นสะเทือนที่  $\phi=0.8$  น้อยกว่าที่  $\phi=1.0$  มาก แต่มีป้อนการสั่นสะเทือนที่ 30 และ 60 Hz ทำให้ความเข้มแสงสูงมากขึ้นซึ่งจะเห็นด้วยว่าโครงสร้างของเปลวไฟ (Flow scale) มีขนาดใหญ่และขยายมากขึ้นซึ่งสอดรับกับภาวะที่มีการสั่นสะเทือนสูงขึ้นและมีการเรืองแสงมากขึ้นดังที่ได้ระบุในภาคีกากของ Gutmark et al. (1992) จึงแสดงให้เห็นว่าการป้อนการสั่นสะเทือนสามารถเพิ่มความเข้มได้



รูปที่ 14 แสดงวิธีการเปลี่ยนแปลงโครงสร้างของเปลวไฟ (โดยใช้ขั้นแบบสูง 0.36 มม. ท่อไอเสียยาว 400 และท่อไอเสียยาว 450 มม.)

เมื่อพิจารณาจากรูปที่ 7 และ 9 พบร้าที่เวลา 0, 0.05, 0.1, 0.15, 0.2, 0.25, 0.3 วินาที นั้นค่า Auto Correlation ของความดันผู้คนในห้องเพาไม่ใหม่มีค่าสูงสุด (รูปที่ 7) แต่สำหรับการเรืองแสงไฟสมิการเคลื่อนด้วยความดันผู้คนทำให้ที่เวลา 0.05, 0.1 และ 0.25 วินาที การเรืองแสงมีความเข้มต่ำสุดในขณะที่ที่ 0.15 และ 0.2 วินาที การเรืองแสงมีความเข้มต่ำสุดในขณะที่ที่ 0.15 และ 0.2 วินาที การเรืองแสงมีความเข้มสูงสุดซึ่งสอดคล้องกับความถี่ของความดันผู้คนประทุมมากกว่าความถี่ของการเรืองแสงถึงสองเท่า และจากภาพถ่ายของเปลวไฟเห็นว่าการสั่นสะเทือนของเปลวไฟได้เคลื่อนตัวไปในแนวราวนานกับทิศทางการไฟลโดยที่เวลา 0.15 วินาทีสอดคล้องกับภาวะที่มีความเข้มแสงสูงสุด โครงสร้างของเปลวไฟมีการขยายตัวสูงสุดและหยาบในขณะที่ที่ 0.25 วินาทีสอดคล้องกับภาวะที่มีความเข้มแสงต่ำสุด โครงสร้างของเปลวไฟมีขนาดเล็กและละเอียดมากขึ้น จึงทำให้สรุปได้ว่าการสั่นสะเทือนซึ่งนองกระจะสะท้อนกับความเข้มแสงจากการเพาไม้ซึ่งเป็นผลจากอัตราการเกิดปฏิกิริยาความร้อนแล้ว ยังสะท้อนกับโครงสร้างของไฟที่มักมีขนาดใหญ่เมื่อการสั่นสะเทือนสูงขึ้นดังเช่นในผลการทดลองของ Gutmark et al. (1992)

## 6. สรุปและวิจารณ์ผลการทดลอง

เนื่องด้วยการศึกษานี้มุ่งเน้นเพื่อที่จะประเมินความเข้าใจเกี่ยวกับการเกิดสั่นสะเทือนในห้องเพาไม้และศึกษาถึงประสิทธิภาพในการปฎิบัติที่จะเห็นได้ชัดเจนให้เกิดการสั่นสะเทือนที่เป็นประโยชน์ต่อคุณสมบัติการเพาไม้ เช่น ส่วนผสมดีชีน ผลิตภัณฑ์และอีกทางหนึ่งเพื่อลดการสั่นสะเทือนที่มีขนาดครุณแรงเกินไปและโดยมักเกิดขึ้นตามธรรมชาติ ดังนั้นผลการวิจัยจะเป็นประโยชน์ในการหาจุดเด่นของการให้มีการสั่นสะเทือนเกิดขึ้นจากปัจจัยด้านธรรมชาติหรือปัจจัยที่สร้างขึ้นหรือทั้งสองอย่างอย่างเพื่อให้มีคุณสมบัติ เหลี่ยมที่ดีที่สุดตามความต้องการของอุตสาหกรรม ถึงแม้ว่าห้องเพาไม้จะเป็นห้องเพาใหม่จึงอาจลงและมีไฟเดิมอยู่กับห้องเพาใหม่ที่ใช้ในอุตสาหกรรมหนักด้วยเจตนาแต่เป็นการออกแบบที่เอื้อให้เกิดการศึกษาคุณสมบัติที่เกี่ยวข้องกับการสั่นสะเทือนจากการเพาใหม่โดยสะดวก ดังเช่น การปรับเปลี่ยนความยาวของห้องเพาใหม่ การวัดความดันผู้คนแบบตัวต่อตัวและการสั่นสะเทือนที่ต้องการจะให้เกิดขึ้น

จากการทดลองจะเห็นว่าการสั่นสะเทือนที่เกิดขึ้นโดยธรรมชาติเกิดขึ้นที่ความเข้มข้นของส่วนผสม ( $\phi$ ) มากกว่า 0.9 โดยมีค่าสูงสุดเท่ากับ 2.0 kPa ที่  $\phi = 1.1$  และมีลักษณะการสั่นสะเทือนแบบความถี่หลักเดียวหรือ Single-frequency dominant ซึ่งเท่ากับ 60 Hz และเป็นการก่อตัวนองกับห้องเพาใหม่โดยมีระยะทางจากปลายท่อขาเข้าดง

ค่าแทนที่เปลวไฟมีความเข้มของความร้อนสูงสุดเท่ากับ 3 ใน 4 เท่าของความยาวคลื่น (Three quarter-wave length) และค่าแทนที่ความเข้มความร้อนสูงสุดเป็นแอนดิโหนด โครงสร้างทางเรขาคณิตมีผลชัดเจนกับการสั่นสะเทือนเนื่องจากผลเชิงกระบวนการเชิงพื้นฐานต่อการเพาใหม่โดยที่ความยาวของห้องเพาไม้ซึ่งจะทำให้เกิดการสั่นสะเทือนตามธรรมชาติที่สูงขึ้นจาก 0.6 เป็น 1.7 kPa เนื่องจากโอกาสในการเกิดก้าบทวนระหว่างไฟส่องความร้อนกับความดันผู้คนมากขึ้นแต่การเพิ่มความยาวของห้องเพาไม้มากกว่า 20 เท่าของความสูงหน้าตู้จะไม่เอื้อให้การสั่นสะเทือนมีขนาดมากขึ้นเนื่องจากความยาวจะเกินกว่าความยาวที่ต้องการให้การเพาใหม่เกิดสมบูรณ์หรือการเพาใหม่เป็นแบบปิด ส่วนขนาดของความยาวห้องเพาไม้ดินนั้นไม่มีผลชัดเจนต่อการสั่นสะเทือนเนื่องจากความถี่ของการสั่นสะเทือนขึ้นอยู่กับทั้งความยาวห้องเพาและไอเสียโดยความยาวห้องเพาดีเป็นหลัก

การป้อนการสั่นสะเทือนกับส่วนผสมก่อนเข้าห้องเพาใหม่นั้น ถึงแม้มีความกังวลว่าขนาดของการสั่นสะเทือนที่ป้อนอาจจะถูกห่วงด้วยระยะทางก่อนถึงห้องเพาใหม่ที่ก่อนข้างมาก แต่เนื่องจากเป็นการสั่นสะเทือนต่อสถานความดัน จึงทำให้การหน่วงเกิดขึ้นน้อยไม่เหมือนการสั่นสะเทือนต่อความเข้มข้นของส่วนผสมดังที่คาดหวังไว้ได้เคยประสบในอดีต ในการทดลองนี้ยังสามารถใช้การป้อนการสั่นสะเทือนให้ลดการสั่นสะเทือนตามธรรมชาติได้และทำให้การสั่นสะเทือนลดลงได้ถึง 62.5 % และจะเห็นได้ชัดว่าการป้อนการสั่นสะเทือนสามารถเปลี่ยนแปลงคุณภาพของการเพาใหม่ได้โดยที่ทำให้การกระจายตัวของอุณหภูมิในช่วงของ  $\phi$  ระหว่าง 0.8-1.1 มีความส่วนผสมมากขึ้นอันทำให้สามารถเลือกใช้ส่วนผสมที่บางกว่าในขณะที่ยังสามารถรักษาประสิทธิภาพเชิงความร้อนได้และมีการสั่นสะเทือนลดลง

จากการตัวค่าความเข้มแสงของโมเลกุลอิสระ OH รวมกับค่าความดันผู้คนแบบตัวต่อตัว เห็น การสั่นสะเทือนที่สูงขึ้น มักเกิดขึ้นพร้อมกับโครงสร้างของไฟที่มีขนาดใหญ่และheavyขึ้นและการเรืองแสงของไฟส่องความร้อนที่มากขึ้น และที่สำคัญอีกประการคือความถี่หลักที่เกิดขึ้นในความดันผู้คนไม่จำเป็นต้องเป็นความถี่เดียวกับไฟส่องความร้อนจากการเพาใหม่ซึ่งในกรณีนี้พบว่าความถี่จากไฟส่องความร้อนเป็นสองเท่าของความถี่ของความดันผู้คนแบบตัวต่อตัวในกรณีที่เป็นเพียงครึ่งเดียวของความถี่ของความดันผู้คนโดยทั้งสองกรณีน่าจะเป็นกรณีนิยมของฐานความถี่ของความดันผู้คนที่ 60 Hz และยังแสดงให้เห็นอีกว่าเนื่องจากค่าแทนที่วัดความดันกับค่าแทนที่วัดความเข้มแสงแตกต่างกันน้อยมากทำให้ไม่ปรากฏไฟส่องกันระหว่างคลื่นของ การสั่นสะเทือนกับการเรืองแสงของโมเลกุลอิสระ OH ซึ่งหากผ่านสัญญาณความดันที่ได้นี้ไปเป็นสัญญาณป้อนกลับใน

วงจรควบคุมการสั่นสะเทือนแบบแยกกีฟคอนไทรล์จะทำให้การควบคุมมีประสิทธิภาพดี

นอกจากนั้นแล้วการสั่นสะเทือนที่บันยมมีอิทธิพลต่อความเข้มข้นของออกไซด์ของไนโตรเจนซึ่งทำให้มีการเพิ่มและลดของปริมาณ NO โดยขนาด NO ที่เพิ่มขึ้นนั้นจะสัมพันธ์กับภาวะที่การสั่นสะเทือนทำให้อุณหภูมิจากการเผาไหม้สูงขึ้นซึ่งจะทำให้การผลิต NO เพิ่มขึ้นตามหลักของ Zeldovich ซึ่งในการทดลองนี้การสั่นสะเทือนที่ 40 Hz สามารถทำให้ NO เพิ่มขึ้นในบางสภาวะได้ถึงกว่าสองเท่าในกรณีที่ใช้ขั้นแบบสูงซึ่งจะเกิดจากผลของการสั่นสะเทือนทำให้เสถียรภาพของเปลวไฟเลวลงและทำให้การเผาไหม้ช้าลงมากขึ้น แต่เมื่อใช้ขั้นแบบด้านการป้อนการสั่นสะเทือนกลับทำให้การเพิ่ม NO เกิดขึ้นด้วยขนาดลดลง และในหลายสภาวะยังสามารถทำให้ NO ลดลงได้มากถึง 43 % อีกด้วยซึ่งถ้ากลับเป็นภาวะที่ใช้ขั้นแบบสูงการสั่นสะเทือนนี้จะทำให้ NO เพิ่มขึ้น ผลกระทบทดลองนี้จึงมีความน่าสนใจและในเบื้องต้นสามารถสรุปได้ว่าขนาดของด้วยรักษาระดับของเปลวไฟเช่น ขั้น (Step) มีอิทธิพลต่อผลของการสั่นสะเทือนซึ่งต้องการคำอธิบายที่มีหลักการมากขึ้นในอนาคต

## 7. ข้อเสนอแนะต่อการศึกษาในอนาคต

เนื่องจากในการศึกษานี้เป็นการใช้ห้องเผาไหม้ขนาดจ่อลอง ในอนาคตต้องมีการทำการทดลองในห้องเผาไหม้ที่มีขนาดใหญ่ขึ้นและใช้ปริมาณเชื้อเพลิงที่สูงขึ้นเพื่อรองจากปัญหาที่มีกับพบจากความคลาดเคลื่อนระหว่างผลของห้องเผาไหม้ขนาดจ่อลงกับขนาดจ่อลองที่ทำให้ผลสรุปจากการวิจัยยังไม่สามารถเป็นข้อสรุปที่สมบูรณ์ รวมทั้งควรให้มีการศึกษาอิทธิพลของรูปร่างของด้วยรักษาระดับของเปลวไฟต่ออุปกรณ์ดังในโครงเรนมากขึ้นโดยเลือกรูปร่างที่มักใช้กันในอุตสาหกรรม เช่นขั้นสมมาตรที่มีการขยายตัวทันที (Sudden Expansion) หรือใช้วาดวงเหวน เป็นต้น นอกจากนั้น แม้ว่าการทดลองเปลี่ยนชนิดของเครื่องกำเนิดการสั่นสะเทือนให้มีทั้งการสั่นสะเทือนความเข้มข้นของส่วนผสมในห้องเผาไหม้หรือการฉีดน้ำเป็นจังหวะดังเช่นการทดลองของ Sivasegaram et al. (1995b) เพื่อจะหาแนวทางในการลดอุปกรณ์ดังในโครงเรนให้มีประสิทธิภาพมากขึ้น

## 8. กิตติกรรมประกาศ

คณะผู้วิจัยขอขอบคุณคณะกรรมการศาสตร์ มหาวิทยาลัยมหิดล, คณะวิศวกรรมศาสตร์ มหาวิทยาลัยโอซาก้าโดย Professor M. Katsuki และบริษัทการบินไทย จำกัด (มหาชน) ที่ได้ให้การสนับสนุนค่าใช้จ่ายในการท่องเที่ยว ครั้งนี้ และงานวิจัยครั้งนี้ประสบความสำเร็จได้ด้วยการสนับสนุน

ศูนย์โครงการความร่วมมือทางวิชาการระหว่างมหาวิทยาลัยมหิดลกับมหาวิทยาลัยโอซาก้า ประเทศไทยปัจจุบัน ซึ่งมหาวิทยาลัยโอซาก้า ได้อีกเพื่ออุดหนุนการณ์และสถานที่ทำการทดลอง และหวังเป็นอย่างยิ่งว่าความร่วมมือนี้จะขยายผลเพิ่มขึ้นต่อไปในอนาคต

## เอกสารอ้างอิง (References)

1. ดร.รุ่งเรือง พิพิธศิริ (2541), "การควบคุมการเผาไหม้ในเครื่องยนต์ก๊าซเทอร์บอฟาย" การประชุมวิชาการเครือข่ายวิศวกรรมเครื่องกลแห่งประเทศไทยประจำปี 2541 จัดโดยคณะวิศวกรรมศาสตร์ จุฬาลงกรณ์มหาวิทยาลัย
2. Bhidayasiri, R., Sivasegaram, S. and Whitelaw, J.H. (1997a), "The Effect of Flow Boundary Conditions on the Stability of Quasi-Stabilised Flames", Combustion Science and Technology, Vol. 123, pp. 185-205
3. Bhidayasiri, R., Sivasegaram, S. and Whitelaw, J.H. (1997b), "Control of Combustion and NO<sub>x</sub> Emissions in Open and Ducted Flames", Proceedings of the Fourth International Conference on Technologies and Combustion for a Clean Environment, Vol. 2, Paper 29.1
4. Bhidayasiri, R., Sivasegaram, S. and Whitelaw, J.H. (1997c), "Control of Combustion Oscillations in a Gas Turbine Combustor", Proceedings of the Seventh Asian Congress of Fluid Mechanics, pp. 107-109
5. Bhidayasiri, R., Sivasegaram, S. and Whitelaw, J.H. (1998), "Control of Oscillations in Premixed Gas Turbine Combustors", Advances in Chemical Propulsion, edited by G.D. Roy
6. Bhidayasiri, R. (1998), "Control of Combustion", Ph.D. Thesis, Imperial College, University of London
7. Brancewell, R.N. (1965), "The Fourier Transform and its Application", McGraw-Hill
8. De Zilwa, S.R., Khezzar, L. and Whitelaw, J.H. (1998), "Plane Sudden-Expansion Flows", Thermofluids Section, Dept. of Mech Eng., Imperial College, Internal Report
9. Gutmark, E.J., Parr, T.P., Hansan-Parr, D.M. and Schadow, K.C. (1992), "Structure of a Controlled

- Ducted Flame", Combustion Science and Technology, Vol. 87, pp. 217-239
10. Fernandes, E.C. and Heitor, M.V. (1990), "On the Noise Characteristics of Confined Swirl Combustor", ASME Winter Annual Meeting, Texas
11. McManus, K.R., Poinsot, T. and Candel, S.M. (1993), "A Review of Active Control of Combustion Instabilities", Progress in Energy and Combustion Science, Vol.19 ,pp. 1-29
12. McManus, K.R., Vandsbyrger, U. and Bowman, C.T. (1990), "Combustor Performance Enhancement Through Direct Shear layer Excitation", Combustion and Flame, Vol. 82, pp.75-92
13. Ochi, T., Katsuki, M., Mizutani, Y and Morinishi, Y (1995), "An Active Control of Acoustic Noise Generated by Combustion Oscillation", Proceeding of the ASME/JSME Thermal Engineering Conference, ASME, Vol. 3, No. H0933C-1995
14. Sivasegaram, S., Tsai, R.F. and Whitelaw, J.H. (1995a), "Control of Combustion Oscillation by Forced Oscillation of Part of the Fuel Supply", Combustion Science and Techology, Vol. 105, pp. 67-83
15. Sivasegaram, S. and Whitelaw, J.H. (1996), "Control of Flame and Emissions by Oscillation", Proceedings of the 9<sup>th</sup> ONR Propulsion Meeting, pp. 272-285